

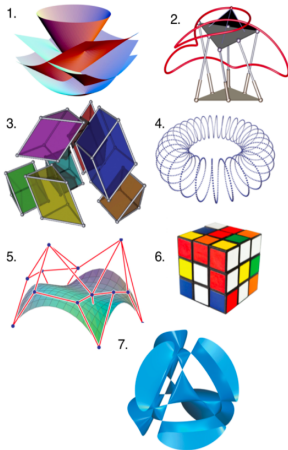


计算机代数

牟晨琪

北航沙河校区E403-7
chenqi.mou@buaa.edu.cn

2020年春



第六章

应用：几何定理的机器证明

几何定理证明的四种风格

- ① **Euclid** 风格: 基于**公理系统**, 使用定义和公理, 依据**逻辑推理规则**, 定理的证明是从假设到结论的推演过程.
 - 对于这种风格的证明, 其方法没有统一、确定的步骤, 因而难以用来系统地证明一大类定理.
- ② **Descartes** 风格: 通过建立坐标系将几何对象与代数关系联系起来, 进而可以**使用代数计算代替逻辑推理**.
 - 尽管这种风格未为几何定理的证明提供系统的方法, 但其代数化思想为实现**几何定理证明的机械化**铺平了道路.
- ③ **Hilbert** 风格: 在 **Euclid** 公理系统的基础上引入数系, 对**只涉及点和直线**关联性质的一类几何命题给出其证明的算法化方法.
 - 这种风格的证明是针对一类定理, 因而是**可以机械化的**.
- ④ **计算机**风格: 针对各类几何定理, 设计算法并将其在计算机上实施, 从而实现定理证明的**机械化和自动化**.

线性等式型几何定理的机器证明

等式型几何定理

通过选取坐标系, 并用变元 \boldsymbol{x} 表示定理中的点的坐标和其他几何量 (如三角形的面积、距离的平方、直线的斜率等), 大多数 (平面) 几何定理的假设和结论都可以用关于这些变元的多项式等式来表示. 这类几何定理称为等式型的.

设所考虑几何的附属数域为 \mathcal{K} , 那么等式型定理的假设可以表示为 $\mathcal{H} = 0$, 而结论为 $G = 0$,

$$\mathcal{H} = \{H_1, \dots, H_s\} \subseteq \mathcal{K}[\boldsymbol{x}], \quad G \in \mathcal{K}[\boldsymbol{x}].$$

线性等式型几何定理

现考虑一类特殊的等式型定理, 其中每个定理的假设都可以通过有限多步来构造性地叙述. 设定理的第 k 步构造引进的变元为 $x_{i_k}, \dots, x_{i_{k+1}-1}$ ($k \geq 1$). 如果对所有 k , 表示第 k 步构造中的几何关系的 l_k 个多项式等式关于 $x_{i_k}, \dots, x_{i_{k+1}-1}$ 中的某 l_k 或更多个变元都是线性的, 则称该定理为线性等式型的.

线性等式型几何定理的机器证明

- ① 过已构点 (x_1, x_2) 构造任意一条直线.
- ② 过已构点 (x_1, x_2) 构造由已构点 (x_3, x_4) 和 (x_5, x_6) 确定的直线的平行线. 只需构造欲构平行线上一点 (u_1, y_1) 或 (y_1, u_1) , 该点满足等式

$$(x_5 - x_3)(y_1 - x_2) - (x_6 - x_4)(u_1 - x_1) = 0, \text{ 或}$$

$$(x_5 - x_3)(u_1 - x_2) - (x_6 - x_4)(y_1 - x_1) = 0.$$

- ③ 过已构点 (x_1, x_2) 构造由已构点 (x_3, x_4) 和 (x_5, x_6) 确定的直线的垂线. 只需构造欲构垂线上一点 (u_1, y_1) 或 (y_1, u_1) , 则该点满足等式

$$(x_6 - x_4)(y_1 - x_2) + (x_5 - x_3)(u_1 - x_1) = 0, \text{ 或}$$

$$(x_6 - x_4)(u_1 - x_2) + (x_5 - x_3)(y_1 - x_1) = 0.$$

- ④ 构造分别由已构两点 (x_1, x_2) 和 (x_3, x_4) 与 (x_5, x_6) 和 (x_7, x_8) 确定的两条直线的交点. 设交点的坐标为 (y_1, y_2) , 则:

$$(x_3 - x_1)(y_2 - x_2) - (x_4 - x_2)(y_1 - x_1) = 0,$$

$$(x_7 - x_5)(y_2 - x_6) - (x_8 - x_6)(y_1 - x_5) = 0.$$

线性等式型几何定理的机器证明

外心定理

任意三角形的三条中垂线交于一点.

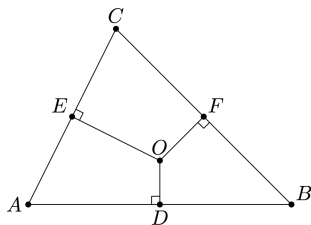


图 6.1 外心定理

$A(0, 0), B(u_1, 0), C(u_2, u_3) \implies D(u_1/2, 0)$ 和 $E(u_2/2, u_3/2)$. 令 BC 的中点为 F , 其坐标为 $(y_1, y_2) \implies y_1 = (u_1 + u_2)/2, y_2 = u_3/2$.

线性等式型几何定理的机器证明

分别过 D 和 E 作 AB 和 AC 的中垂线, 其交点可设为 $O(u_1/2, y_3)$, 则

$$u_3 \left(y_3 - \frac{u_3}{2} \right) + u_2 \left(\frac{u_1}{2} - \frac{u_2}{2} \right) = 0.$$

$$\implies y_3 = u_3/2 - u_2(u_1 - u_2)/(2 u_3).$$

要证明三条中垂线交于一点, 只需证明 $OF \perp BC$, 即

$$\left(y_1 - \frac{u_1}{2} \right) (u_2 - u_1) + u_3 (y_2 - y_3) = 0.$$

将上面求出的 y_1, y_2, y_3 的表达式代入上式, 容易验证等式恒成立.

- y_3 的表达式中的分母 u_3 不能为零. 因此定理在 $u_3 \neq 0$ 的条件下成立. \implies 如果 $u_3 = 0$??

定理 (几何定理机械化证明原理 1)

任意线性等式型几何定理都可以机械化证明.

等式型定理的机器证明——一般原理

- 上述方法不适用于证明非线性等式型定理: 圆

定理 (几何定理机械化证明原理 II)

设等式型定理的假设和结论分别为 $\mathcal{H} = 0$ 和 $G = 0$, 其中 \mathcal{H}, G 如前所示. 又设 \mathcal{C} 为 \mathcal{H} 关于变元序 $x_1 < \dots < x_n$ 的特征列, 而 $I = \prod_{C \in \mathcal{C}} \text{ini}(C)$. 若 $\text{prem}(G, \mathcal{C}) \equiv 0$, 则 $Z(\mathcal{H}/I) \subseteq Z(G)$, 因此定理在条件 $I \neq 0$ 之下成立.

定理 (几何定理机械化证明原理 III)

设等式型定理的假设和结论分别为 $\mathcal{H} = 0$ 和 $G = 0$, 其中 \mathcal{H}, G 如前所示. 又设 \mathbf{u} 为 \mathbf{x} 中的所有自由变元, 并令 \mathcal{G} 为 \mathcal{H} 在 $\mathcal{K}(\mathbf{u})$ 上的任意 Gröbner 基. 如果 $\text{nform}(G, \mathcal{G}) \equiv 0$, 那么在某个 $J(\mathbf{u}) \neq 0$ 的条件之下该定理成立.

等式型定理的机器证明：特征列方法

Simson 定理

从任意一点 P 向任意 $\triangle ABC$ 的三边作垂线, 那么垂足 D, E, F 共线当且仅当 P 在 $\triangle ABC$ 的外接圆上.

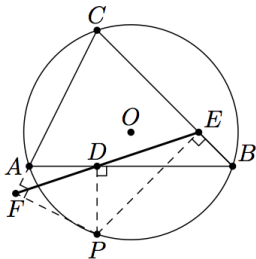


图 6.2 Simson 定理

(只证必要性)

等式型定理的机器证明：特征列方法

坐标化： 选取直线 AB 为 x 轴, A, B 的中点为原点, 并设各点坐标如下:

$$\begin{aligned} A(-u_1, 0), \quad B(u_1, 0), \quad C(u_2, u_3), \quad P(y_1, y_2), \\ D(y_1, 0), \quad E(y_3, y_4), \quad F(y_5, y_6). \end{aligned}$$

假设条件：

$$(\mathcal{H} = 0) \begin{cases} H_1 = u_3 y_2^2 - (u_3^2 + u_2^2 - u_1^2) y_2 + u_3 (y_1^2 - u_1^2) = 0, \\ H_2 = (u_2 + u_1)(y_3 - y_1) + u_3 (y_4 - y_2) = 0, \\ H_3 = (u_2 + u_1) y_4 - u_3 (y_3 + u_1) = 0, \\ H_4 = (u_2 - u_1)(y_5 - y_1) + u_3 (y_6 - y_2) = 0, \\ H_5 = (u_2 - u_1) y_6 - u_3 (y_5 - u_1) = 0. \end{cases}$$

定理结论： $G = (y_3 - y_1) y_6 - y_4 (y_5 - y_1) = 0$

等式型定理的机器证明：特征列方法

计算得到特征列如下

$$C = \begin{bmatrix} u_3 y_2^2 + (u_1^2 - u_2^2 - u_3^2) y_2 + u_3 y_1^2 - u_3 u_1^2, \\ I_2 y_3 - I_3^2 y_1 - I_3 u_3 y_2 + u_3^2 u_1, \\ I_3 y_4 - u_3 y_3 - u_3 u_1, \\ I_4 y_5 + I_5^2 y_1 + I_5 u_3 y_2 + u_3^2 u_1, \\ I_5 y_6 - u_3 y_5 + u_3 u_1 \end{bmatrix},$$

其中

$$\begin{aligned} I_2 &= u_2^2 + 2 u_1 u_2 + u_1^2 + u_3^2, & I_3 &= u_2 + u_1, \\ I_4 &= u_2^2 - 2 u_2 u_1 + u_1^2 + u_3^2, & I_5 &= u_2 - u_1. \end{aligned}$$

可以验证, 上述零点关系在 $u_1 u_3 I_2 \cdots I_5 \neq 0$ 的条件下成立: **定理的必要性得证.**

等式型定理的机器证明：特征列方法

退化条件

我们观察下定理成立的条件： $u_1 u_3 I_2 \cdots I_5 \neq 0$

- I_2 : AC 是迷向的 (即 AC 的斜率为 $\pm i$);
- I_3 : $AB \perp AC$;
- I_4 : BC 是迷向的;
- I_5 : $AB \perp BC$.

等式型定理的机器证明：Gröbner 基方法

计算 \mathcal{H} 在 $\mathcal{K}(u_1, u_2, u_3)$ 上由 $y_1 < \dots < y_6$ 确定的字典序 Gröbner 基

$$\mathcal{G} = \begin{bmatrix} u_3 y_2^2 + (u_1^2 - u_3^2 - u_2^2) y_2 + u_3 y_1^2 - u_3 u_1^2, \\ I_2 y_3 - I_3 u_3 y_2 - I_3^2 y_1 + u_3^2 u_1, \\ I_2 y_4 - y_2 u_3^2 - I_3 u_3 y_1 - I_3 u_1 u_3, \\ I_4 y_5 - I_5 u_3 y_2 - I_5^2 y_1 - u_3^2 u_1, \\ I_4 y_6 - y_2 u_3^2 - I_5 u_3 y_1 + I_5 u_1 u_3 \end{bmatrix},$$

其中 I_2, \dots, I_5 如前所示. 计算表明, $\text{nform}(G, \mathcal{G}) \equiv 0$.

- 根据原理 II', 定理在某个条件 $J(u_1, u_2, u_3) \neq 0$ 之下成立. 条件 $J \neq 0$ 是不可缺少的, 因为该定理并不普遍成立.

等式型定理的机器证明: 完备方法

定理 (几何定理机械化证明原理 III)

设等式型定理的假设和结论分别为 $\mathcal{H} = 0$ 和 $G = 0$, 其中 \mathcal{H}, G 如 (4) 式所示. 又设三角系统 $[\mathcal{T}_1, \mathcal{U}_1], \dots, [\mathcal{T}_t, \mathcal{U}_t]$ 使得

$$Z(\mathcal{H}) = \bigcup_{i=1}^t Z(\mathcal{T}_i/\mathcal{U}_i).$$

若对某个 i , $\text{prem}(G, \mathcal{T}_i) \equiv 0$, 则 $Z(\mathcal{T}_i/\mathcal{U}_i) \subseteq Z(G)$, 因此定理在 $Z(\mathcal{H})$ 的分支 $Z(\mathcal{T}_i/\mathcal{U}_i)$ 上成立.

计算 \mathcal{H} 关于变元序 $u_1 < u_2 < u_3 < y_1 < \dots < y_6$ 的正则序列可得 14 个正则系统 $[\mathcal{T}_i, \mathcal{U}_i]$. 不难验证, $\text{prem}(G, \mathcal{T}_i) \equiv 0$ 对 $i = 1, \dots, 7$ 都成立. 结合前例, 可知 Simson 定理在退化情形 $I_3 = 0$ 和 $I_5 = 0$ 也成立. 因此前例给出的非退化条件中只有 $u_1 u_3 I_2 I_4 \neq 0$ 是必要的.

等式型定理的机器证明: 完备方法

定理 (几何定理机械化证明原理 IV)

设等式型定理的假设和结论分别为 $\mathcal{H} = 0$ 和 $G = 0$, 其中 \mathcal{H}, G 如 (4) 式所示. 又设 $\mathcal{T}_1, \dots, \mathcal{T}_t$ 为 \mathcal{H} 的不可约三角序列或简单序列, 则定理在分支 $Z(\mathcal{T}_i / \text{ini}(\mathcal{T}_i))$ 上成立当且仅当 $\text{prem}(G, \mathcal{T}_i) \equiv 0$.

- 原理 I-IV 只能证明在复数域上普遍成立的几何定理, 因为这类定理属于无序几何的范畴, 不涉及有序不等式. 如果定理的代数表达式含有 $<$ 和 $>$, 那么前面介绍的原理将会失效. 此时定理的证明需要用到第四章中介绍的、实代数几何中的方法, 如柱形代数分解方法等.

含不等式定理的机器证明：柱形代数分解方法

Pompeiu 定理

设 $\triangle ABC$ 为等边三角形, 而 P 为不在其外接圆上的任意一点, 则以线段 AP , BP 和 CP 为边可以作一非退化的三角形, 即 $|AP|$, $|BP|$, $|CP|$ 中任意两者之和大于第三者.

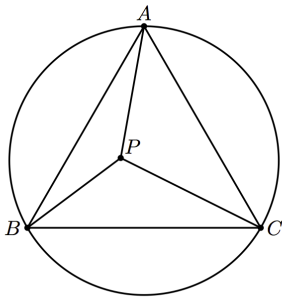


图 6.4 Pompeiu 定理

含不等式定理的机器证明：柱形代数分解方法

设外心坐标为 $(0,0)$, 点 A, B, C, P 的坐标分别为 $(0,1), (-x_0, x_1), (x_0, x_1), (x_2, x_3)$, 而 AP, BP, CP 的长度分别为 x_4, x_5, x_6 .

假设:

- $\triangle ABC$ 为等边三角形 $\iff 4x_0^2 - 3 = 0 \wedge 2x_1 - 1 = 0$;
- P 不在 $\triangle ABC$ 的外接圆上 $\iff x_2^2 + x_3^2 - 1 \neq 0$;
- $|AP| = x_4 \iff x_2^2 + (x_3 - 1)^2 - x_4^2 = 0 \wedge x_4 > 0$;
- $|BP| = x_5 \iff (x_2 + x_0)^2 + (x_3 - x_1)^2 - x_5^2 = 0 \wedge x_5 > 0$;
- $|CP| = x_6 \iff (x_2 - x_0)^2 + (x_3 - x_1)^2 - x_6^2 = 0 \wedge x_6 > 0$.

结论:

$$|AP| + |BP| > |CP| \iff x_4 + x_5 - x_6 > 0.$$

含不等式定理的机器证明：柱形代数分解方法

因此 Pompeiu 定理可以用下面含量词的公式来表示：

$$\begin{aligned} & (\forall x_0)(\forall x_1)(\forall x_2)(\forall x_3)(\forall x_4)(\forall x_5)(\forall x_6)[4x_0^2 - 3 = 0 \wedge 2x_1 - 1 = 0 \\ & \quad \wedge x_2^2 + x_3^2 - 1 \neq 0 \wedge x_2^2 + (x_3 - 1)^2 - x_4^2 = 0 \wedge x_4 > 0 \\ & \quad \wedge (x_2 + x_0)^2 + (x_3 - x_1)^2 - x_5^2 = 0 \wedge x_5 > 0 \\ & \quad \wedge (x_2 - x_0)^2 + (x_3 - x_1)^2 - x_6^2 = 0 \wedge x_6 > 0 \\ & \quad \implies x_4 + x_5 - x_6 > 0]. \end{aligned}$$

利用柱形代数分解将上述含量词公式进行量词消去后得到 **true**，所以定理的结论在假设的条件下总是**成立**。

第六章

应用：多元公钥密码学

公钥密码学简介

单向函数

密码体制的设计建立在单向函数的基础上. 映射 $f: X \rightarrow Y$ 称为**单向函数 (one-way function)**, 如果对任意 $x \in X$, $f(x)$ “容易” 计算; 而对于“绝大多数” $y \in f(X)$, 寻找 x 使得 $f(x) = y$ 是“计算不可行”的.

Example

令 $X = \{i \in \mathbb{N} : 1 \leq i \leq 16\}$. 对任意 $x \in X$, 定义 $f(x) = 3^x \bmod 17$. 下表显示了 X 与 $f(X)$ 之间的对应关系.

x	1	2	3	4	5	6	7	8	9	10	11	12	13	14	15	16
$f(x)$	3	9	10	13	5	15	11	16	14	8	7	4	12	2	6	1

- 由 $x \in X$ 计算对应的 $f(x)$ 十分简单;
- 而对于大部分 $y \in f(X)$ 而言, 计算其原像并不简单.

陷门单向函数

陷门单向函数

单向函数 $f: X \rightarrow Y$ 称作**陷门单向函数 (trapdoor one-way function)**, 如果存在特定信息, 使得在获得该信息后, 对任意 $y \in f(X)$, 可以计算出 $x \in X$ 满足 $f(x) = y$.

- 这些特定信息称作**陷门信息 (trapdoor information)**.
- 通常密码学家选择数学中的困难问题进行密码设计: RSA

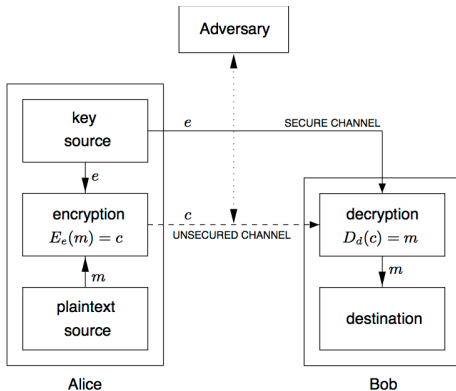
基本术语

- **明文** (plaintext): 希望加密的文档
- **密文** (ciphertext): 加密后的文档
- **消息空间**: 全体明文构成的有限集合, 记作 \mathcal{M}
- **密文空间**: 全体密文构成的有限集合, 记作 \mathcal{C}
- **密钥空间**, 记作 \mathcal{K} , 其中的元素称作**密钥** (key)
- 每个 $e \in \mathcal{K}$ 唯一确定了一个由 \mathcal{M} 至 \mathcal{C} 的映射 E_e , 该映射称作**加密变换**.
 - 利用加密变换将明文转换为密文的过程即为**加密** (encryption)
- 任意 $d \in \mathcal{K}$ 唯一确定的 \mathcal{C} 至 \mathcal{M} 的映射 D_d 称作**解密变换**
 - 利用解密变换将密文转换为明文的过程即为**解密** (decryption)

加密体制

包括加密变换集合 $\{E_e : e \in \mathcal{K}\}$ 及解密变换集合 $\{D_d : d \in \mathcal{K}\}$, 且对于任意 $e \in \mathcal{K}$, 存在唯一 $d \in \mathcal{K}$ 使得 $D_d = E_e^{-1}$, 即对任意 $m \in \mathcal{M}$, 有 $D_d(E_e(m)) = m$. 满足上述条件的 e 与 d 称作**密钥对** (key pair), 记作 (e, d) .

对称加密体制

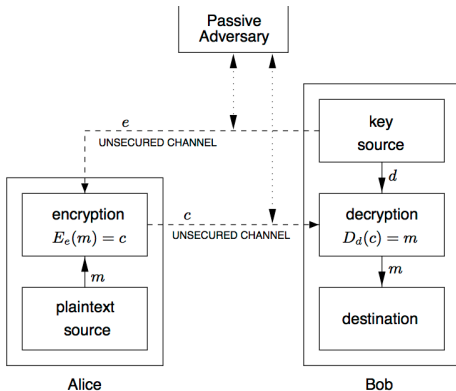


对称加密体制

即对于其中的任意密钥对 (e, d) , 可以十分容易地从**加密密钥** e 计算出与其对应的**解密密钥** d .

- 将解密密钥传递给解密方时必须通过**安全的渠道**: 战时

公钥加密体制



- 对于公钥加密体制中的任意密钥对 (e, d) , 在已知加密密钥 e 的情况下, 敌方仍然无法计算出其对应的解密密钥 d .

公钥加密体制

RSA

- 基于大整数因子分解的困难性
- 安全的 RSA 体制, 需要一个可因子分解为两个素数的大整数 N , 它至少需要 1024 位比特数. \Rightarrow 涉及如此庞大整数的相关计算是十分费时的, 因此 RSA 加密体制的效率并不高.
- RSA 加密体制也无法抵御量子计算机的攻击 \Rightarrow 后量子密码学

多元公钥密码体制 (multivariate public-key scheme)

建立在求解有限域上多元多项式方程组的困难性上. 已经证明, 一般而言, 求解有限域上多元多项式方程组是 NP 难的.

多元公钥密码体制

设 \mathcal{F} 为有限域. 多元公钥密码体制的加密函数 $\bar{\psi} : \mathcal{F}^n \rightarrow \mathcal{F}^m$ 定义如下:

$$\bar{\psi}(x_1, \dots, x_n) := (\bar{F}_1, \dots, \bar{F}_m),$$

其中 $\bar{F}_1, \dots, \bar{F}_m \in \mathcal{F}[\mathbf{x}]$.

加密函数 $\bar{\psi}$ 的构造

- ① 寻找 $\mathcal{F}[\mathbf{x}]$ 中 m 个特殊多项式 F_1, \dots, F_m , 使得 $\psi(x_1, \dots, x_n) := (F_1, \dots, F_m)$ 满足如下性质:
 - 对任意 $(y'_1, \dots, y'_m) \in \mathcal{F}^m$, 容易计算 $(x'_1, \dots, x'_n) \in \mathcal{F}^n$ 使得 $\psi(x'_1, \dots, x'_n) = (y'_1, \dots, y'_m)$. 记上求解过程为 $\psi^{-1}(y'_1, \dots, y'_m) = (x'_1, \dots, x'_n)$.
- ② 然后, 分别随机选取可逆仿射变换 $L_1 : \mathcal{F}^m \rightarrow \mathcal{F}^m$ 与 $L_2 : \mathcal{F}^n \rightarrow \mathcal{F}^n$. 定义 $\bar{\psi}$ 为如下映射的复合:

$$\bar{\psi} = L_1 \circ \psi \circ L_2.$$

多项式映射 ψ 称为该多元公钥密码体制的中心函数.

多元公钥密码体制

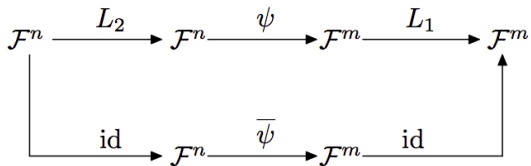


图 6.7 多元公钥密码体制

多元公钥密码体制

- 公钥: 加密函数 $\bar{\psi}$
- 私钥: 仿射变换 L_1 与 L_2
- 加密明文 $X' = (x'_1, \dots, x'_n) \in \mathcal{F}^n$: 通过公钥计算密文 $\bar{\psi}(X')$
- 解密密文 $Y' = (y'_1, \dots, y'_m)$: 只需求解

$$\bar{\psi}(x_1, \dots, x_n) = (y'_1, \dots, y'_m).$$

由 $\bar{\psi}$ 的构造知, 求解上述多项式方程组只需依次计算 $Y_1 = L_1^{-1}(Y')$, $Y_2 = \psi^{-1}(Y_1)$ 及 $L_2^{-1}(Y_2)$.

- 在映射 ψ 两侧复合仿射变换 L_1 与 L_2 的目的在于隐藏 ψ 容易求逆的结构.

MI 加密体制

由 T. Matsumoto 和 H. Imai 于 1988 年提出的 MI 加密体制

一一映射

设 \mathcal{F} 为 q 元有限域, $P \in \mathcal{F}[x]$ 为 m 次不可约多项式. 令 $\mathcal{K} = \mathcal{F}[x]/\langle P \rangle$, 则 \mathcal{K} 为 \mathcal{F} 的 m 次扩域. 令 ϕ 为由 \mathcal{K} 映至 \mathcal{F}^m 的标准同构, 即 $\phi(a_0 + \cdots + a_{m-1}x^{m-1}) = (a_0, \dots, a_{m-1})$.

中心映射

选取 θ 满足 $0 < \theta < m$ 且 $\gcd(q^\theta + 1, q^m - 1) = 1$.

定义 \mathcal{K} 上的映射 $\tilde{\psi}$ 为 $\tilde{\psi}(G) = G^{1+q^\theta}$. 定义 \mathcal{F}^m 上的中心函数 ψ 为

$$\psi = \phi \circ \tilde{\psi} \circ \phi^{-1} = (F_1, \dots, F_m),$$

其中 $F_1, \dots, F_m \in \mathcal{F}[x]$.

MI 加密体制

中心函数的逆

关于 θ 的条件使得映射 $\tilde{\psi}$ 容易求逆: 若整数 t 满足

$$t(1 + q^\theta) \equiv 1 \pmod{(q^m - 1)},$$

则 $\tilde{\psi}^{-1}(G) = G^t$.

进而可定义加密函数

$$\bar{\psi} = L_1 \circ \psi \circ L_2,$$

其中 $L_1, L_2 : \mathcal{F}^m \rightarrow \mathcal{F}^m$ 为随机选取的可逆仿射变换.

MI 加密体制

- **公钥**: 域 \mathcal{F} 和其中的元素运算, 以及加密变换 $\bar{\psi}$ 中的 m 个多项式 $\bar{F}_1, \dots, \bar{F}_m$;
- **私钥**: 仿射变换 L_1 与 L_2
- **加密明文** $X' = (x'_1, \dots, x'_m) \in \mathcal{F}^m$: 对任意 i ($1 \leq i \leq m$) 计算 $y'_i = \bar{F}_i(X')$, 密文即为 $Y' = (y'_1, \dots, y'_m)$;
- **解密密文** $Y' = (y'_1, \dots, y'_m)$: 计算

$$\begin{aligned}\bar{F}^{-1}(y'_1, \dots, y'_n) &= L_2^{-1} \circ \psi^{-1} \circ L_1^{-1}(y'_1, \dots, y'_n) \\ &= L_2^{-1} \circ \phi \circ \tilde{\psi}^{-1} \circ \phi^{-1} \circ L_1^{-1}(y'_1, \dots, y'_n).\end{aligned}$$

MI 加密体制

Example

设 $\mathcal{F} = \mathbb{F}_2$, 令 $m = 3$ 并选取 $\mathcal{F}[x]$ 中的不可约多项式 $P = x^3 + x + 1$, 令 $\mathcal{K} = \mathcal{F}[x]/\langle P \rangle$. 选取 $\theta = 2$ 满足条件, 此时计算可得

$$\tilde{\psi}(G) = G^{1+2^2}, \quad \tilde{\psi}^{-1}(G) = G^3.$$

选取 L_1 和 L_2 为如下仿射变换:

$$L_1(x_1, x_2, x_3) = \begin{pmatrix} 1 & 0 & 1 \\ 0 & 0 & 1 \\ 0 & 1 & 0 \end{pmatrix} \begin{pmatrix} x_1 \\ x_2 \\ x_3 \end{pmatrix} + \begin{pmatrix} 0 \\ 1 \\ 0 \end{pmatrix},$$

$$L_2(x_1, x_2, x_3) = \begin{pmatrix} 1 & 1 & 1 \\ 0 & 0 & 1 \\ 0 & 1 & 1 \end{pmatrix} \begin{pmatrix} x_1 \\ x_2 \\ x_3 \end{pmatrix} + \begin{pmatrix} 1 \\ 0 \\ 1 \end{pmatrix}.$$

MI 加密体制

Example

为了计算公钥 $\bar{\psi}$, 我们首先计算

$$\phi^{-1} \circ L_2(x_1, \dots, x_2) = (x_1 + x_3) + (x_3 + 1)x + x_2x^2.$$

令上式右侧多项式为 G , 则

$$\begin{aligned}\tilde{\psi}(G) &= (x_2x_3 + x_1 + 1) + (x_1x_2 + x_2x_3 + x_2 + x_3 + 1)x \\ &\quad + (x_1x_2 + x_1x_3 + x_2x_3 + x_1 + x_3 + 1)x^2.\end{aligned}$$

再在左端复合映射 $L_1 \circ \phi$, 可得公钥多项式如下:

$$\bar{F}_1(x_1, x_2, x_3) = x_1x_3 + x_2x_3 + x_2,$$

$$\bar{F}_2(x_1, x_2, x_3) = x_1x_2 + x_1x_3 + x_1 + x_2x_3 + x_3 + 1,$$

$$\bar{F}_3(x_1, x_2, x_3) = x_1x_3 + x_1 + x_2 + 1.$$

选取明文 $(0, 1, 1)$, 则加密结果为:

$$\bar{F}_1(0, 1, 1) = 0, \quad \bar{F}_2(0, 1, 1) = 1, \quad \bar{F}_3(0, 1, 1) = 0.$$

HFE 加密体制

- **注意**: 在 MI 加密体制中有两个域 (有限域 \mathbb{F}_2 和 $\mathcal{K} = \mathbb{F}_2[x]/\langle P \rangle$, 而中心函数是 \mathcal{K} 上的一元多项式)
- MI 加密体制于 1995 年被 J. Patarin 利用“线性化等式”的技巧攻破 \implies HFE 加密体制由 Patarin 于 1996 年提出, 是对 MI 加密体制的改进与优化.

中心函数

$$\tilde{\psi}(y) = \sum_{i=0}^{r_2-1} \sum_{j=0}^i a_{ij} y^{q^i+q^j} + \sum_{i=0}^{r_1-1} b_i y^{q^i} + c \in \mathcal{K}[y],$$

其中 $a_{ij}, b_i, c \in \mathcal{K}$ 随机选取, 而 r_1, r_2 保证 $\tilde{\psi}$ 的次数小于参数 d .

- 上述中心函数 (一元函数) 可以用 **Berlekamp 算法** 求解
- 多项式 $\tilde{\psi}$ 的次数 d 对求解复杂度有较大影响, 一般选取 d 较小 (**不超过 512**)

HFE 加密体制

设 $\mathcal{F} = \mathbb{F}_{2^2}$, 即 \mathcal{F} 为特征为 2 的 4 元域. 易知 $\mathcal{F} = \mathbb{F}_2(\alpha)$, 其中 α 满足 $\alpha^2 + \alpha + 1 = 0$. 从而 \mathcal{F} 中元素可表示为 $0, 1, \alpha$ 和 α^2 , 且元素间的加法及乘法运算如下表所示.

+	0	1	α	α^2	*	0	1	α	α^2
0	0	1	α	α^2	0	0	0	0	0
1	1	0	α^2	α	1	0	1	α	α^2
α	α	α^2	0	1	α	0	α	α^2	1
α^2	α^2	α	1	0	α^2	0	α^2	1	α

选取不可约多项式 $P = x^4 + x^3 + \alpha^2 x^2 + \alpha^2 x + \alpha^2 \in \mathcal{F}[x]$, 令 $\mathcal{K} = \mathcal{F}[x]/\langle P \rangle$, 而

$$\tilde{\psi}(y) = y^{4+4} + \alpha y^{4+1} + y + 1 \in \mathcal{K}[y].$$

此时 $\deg(\tilde{\psi}) = 8$.

HFE 加密体制

再选取随机可逆仿射变换 L_1 与 L_2 如下:

$$L_1(x_1, x_2, x_3, x_4) = \begin{pmatrix} \alpha & \alpha & 0 & \alpha \\ 0 & \alpha & 1 & 0 \\ 1 & \alpha & \alpha & 1 \\ 1 & \alpha & 0 & \alpha^2 \end{pmatrix} \begin{pmatrix} x_1 \\ x_2 \\ x_3 \\ x_4 \end{pmatrix} + \begin{pmatrix} 0 \\ 0 \\ \alpha \\ 0 \end{pmatrix},$$

$$L_2(x_1, x_2, x_3, x_4) = \begin{pmatrix} 1 & 0 & \alpha^2 & 1 \\ \alpha^2 & 1 & 1 & \alpha \\ 1 & \alpha^2 & 1 & \alpha^2 \\ 1 & \alpha & \alpha^2 & 1 \end{pmatrix} \begin{pmatrix} x_1 \\ x_2 \\ x_3 \\ x_4 \end{pmatrix} + \begin{pmatrix} \alpha^2 \\ \alpha^2 \\ 0 \\ 0 \end{pmatrix}.$$

HFE 加密体制

于是加密映射 $\bar{\psi} = L_1 \circ \tilde{\psi} \circ L_2$ 即为

$$\begin{aligned}\bar{F}_1 = & \alpha^2 x_1 x_2 + \alpha x_1 x_3 + \alpha^2 x_1 x_4 + \alpha x_1 + x_2 x_3 + \alpha^2 x_2 x_4 + \alpha x_3^2 \\ & + \alpha x_3 x_4 + x_4^2 + \alpha,\end{aligned}$$

$$\begin{aligned}\bar{F}_2 = & x_1^2 + \alpha x_1 x_2 + \alpha^2 x_1 x_4 + \alpha^2 x_1 + x_2 x_3 + \alpha x_2 x_4 + \alpha^2 x_3^2 + x_3 \\ & + \alpha^2 x_4^2 + \alpha^2 x_4,\end{aligned}$$

$$\bar{F}_3 = \alpha^2 x_1^2 + x_1 x_2 + \alpha^2 x_1 x_4 + \alpha^2 x_1 + x_2^2 + \alpha x_2 + \alpha x_3^2 + x_3 + \alpha^2 x_4^2,$$

$$\begin{aligned}\bar{F}_4 = & \alpha^2 x_1^2 + x_1 x_2 + \alpha^2 x_1 x_3 + \alpha x_1 + x_2 x_3 + \alpha x_2 x_4 + \alpha x_2 + x_3^2 \\ & + \alpha x_3 x_4 + x_3.\end{aligned}$$

- **加密**明文 $(0, \alpha^2, 1, \alpha)$: 代入映射, 密文 $c = (0, 0, \alpha, \alpha^2)$.
- **解密** c : $L_1^{-1}(c) = (1, 1, \alpha, 0)$, $\phi^{-1}(1, 1, \alpha, 0) = 1 + x + \alpha x^2 \in \mathcal{K}$. 求解 \mathcal{K} 上的方程

$$y^8 + \alpha y^5 + y + 1 = 1 + x + \alpha x^2$$

得唯一解 $\alpha + \alpha x + \alpha x^2$, 再经过 ϕ 及 L_2^{-1} 可得明文 m .

油醋签名体制

设 \mathcal{F} 为 q 元有限域. 变元 x_1, \dots, x_o 称为**油变量** (oil variable), 变元 $\tilde{x}_1, \dots, \tilde{x}_v$ 称为**醋变量** (vinegar variable). 令 $n = o + v$.

定义: 油醋多项式

$\mathcal{F}[x_1, \dots, x_o, \tilde{x}_1, \dots, \tilde{x}_v]$ 中形如

$$\sum_{i=1}^o \sum_{j=1}^v a_{ij} x_i \tilde{x}_j + \sum_{i=1}^v \sum_{j=1}^v b_{ij} \tilde{x}_i \tilde{x}_j + \sum_{i=1}^o c_i x_i + \sum_{j=1}^v d_j \tilde{x}_j + e$$

的全次数为 2 的多项式称作**油醋多项式** (oil-vinegar polynomial), 其中 $a_{ij}, b_{ij}, c_i, d_j, e \in \mathcal{F}$.

- 容易发现, 油醋多项式中没有 $x_i x_j$ 的项, 因此油醋多项式中的**油变量与醋变量并没有充分混合**. 取定醋变量为 $(\tilde{x}'_1, \dots, \tilde{x}'_v)$, 则上述多项式变为关于油变量的线性函数. 该性质保证了**此类多项式容易求逆**.

油醋签名体制

定义：油醋映射

设 F_1, \dots, F_o 为 $\mathcal{F}[x_1, \dots, x_o, \tilde{x}_1, \dots, \tilde{x}_v]$ 中的油醋多项式, 则多项式映射 $\psi : \mathcal{F}^n \rightarrow \mathcal{F}^o$

$$\psi(x_1, \dots, x_o, \tilde{x}_1, \dots, \tilde{x}_v) := (F_1, \dots, F_o)$$

称为**油醋映射** (oil-vinegar map).

- 油醋映射也具有**容易求逆**的性质: 给定油醋映射 ψ 及 $(y'_1, \dots, y'_o) \in \mathcal{F}^o$, 随机取定醋变量为 $(\tilde{x}'_1, \dots, \tilde{x}'_v)$, 然后求解关于油变量 x_1, \dots, x_o 的**线性方程组**

$$F_i(x_1, \dots, x_o) = y'_i \quad (1 \leq i \leq o).$$

油醋签名体制

由于油醋映射由 \mathcal{F}^n 映至 \mathcal{F}^o ($o < n$), 因此它只能用于设计**签名体制**

具体方法

- ① 随机选取 $\mathcal{F}[x_1, \dots, x_o, \tilde{x}_1, \dots, \tilde{x}_v]$ 中的 o 个油醋多项式 F_1, \dots, F_o 构造油醋映射 $\psi = (F_1, \dots, F_o)$.
- ② 随机选取可逆仿射变换 $L: \mathcal{F}^n \rightarrow \mathcal{F}^n$, 形如

$$(x_1, \dots, x_o, \tilde{x}_1, \dots, \tilde{x}_v) = L(z_1, \dots, z_n).$$

- ③ 则公钥变换 $\bar{\psi}: \mathcal{F}^n \rightarrow \mathcal{F}^o$ 定义为

$$\bar{\psi} = \psi \circ L = (\bar{F}_1, \dots, \bar{F}_o).$$

- 注意到油醋多项式 F_1, \dots, F_o 已经为随机取定的了, 因此没有必要在 $\psi \circ L$ 左侧再复合随机的可逆仿射函数.

油醋签名体制

公私钥

- **公钥**: 有限域 \mathcal{F} 和其中元素运算, 以及映射 $\bar{\psi} = (\bar{F}_1, \dots, \bar{F}_o)$;
- **私钥**: 可逆仿射变换 L 及油醋映射 $\psi = (F_1, \dots, F_o)$.

签名 (计算 $\bar{\psi}^{-1} = (\psi \circ L)^{-1}$)

- ① 对文件 $(y'_1, \dots, y'_o) \in \mathcal{F}^o$ 签名, 应随机选取醋变量为 $\tilde{x}'_1, \dots, \tilde{x}'_v$ 并求解线性方程 $(x'_1, \dots, x'_o, \tilde{x}'_1, \dots, \tilde{x}'_v) = \psi(y'_1, \dots, y'_o)$.
- ② 计算 $(z'_1, \dots, z'_n) = L^{-1}(x'_1, \dots, x'_o, \tilde{x}'_1, \dots, \tilde{x}'_v)$ 即可获得签名.

验证签名

(y'_1, \dots, y'_o) 的签名是否为 (z'_1, \dots, z'_n) ? 利用**公钥映射** $\bar{\psi}$ 验证

$$\bar{\psi}(z'_1, \dots, z'_n) = (y'_1, \dots, y'_o).$$

油醋签名体制

- 当 $o = v$, 即油变量与醋变量数目相等时, 油醋签名体制称为平衡的 (balanced), 否则称为非平衡的 (unbalanced).

Example

设 $\mathcal{F} = \mathbb{F}_{2^2}$, 现考虑 $o = v = 3$ 的平衡油醋签名体制. 选择 3 个油醋多项式如下 (注意观察油变量)

$$F_1 = x_1 \tilde{x}_1 + \alpha^2 x_1 \tilde{x}_2 + \alpha^2 x_1 \tilde{x}_3 + x_2 \tilde{x}_1 + \alpha x_2 \tilde{x}_2 + x_2 \tilde{x}_3 + \alpha^2 x_2 \tilde{x}_1 \\ + \alpha^2 x_3 \tilde{x}_2 + \alpha^2 x_3 \tilde{x}_3 + \alpha^2 x_3 \tilde{x}_3 + \alpha \tilde{x}_1 \tilde{x}_3 + \alpha^2 \tilde{x}_1^2 + \tilde{x}_2 \tilde{x}_3 + \tilde{x}_3^2,$$

$$F_2 = \alpha x_1 \tilde{x}_2 + \alpha x_1 \tilde{x}_3 + x_2 \tilde{x}_3 + x_2 \tilde{x}_2 + \alpha x_2 \tilde{x}_3 + \alpha x_3 \tilde{x}_1 + x_3 \tilde{x}_2 \\ + \alpha^2 x_3 \tilde{x}_3 + x_1^2 + \alpha \tilde{x}_1 \tilde{x}_2 + \tilde{x}_1 \tilde{x}_3 + \tilde{x}_3^2,$$

$$F_3 = \alpha x_1 \tilde{x}_1 + \alpha x_1 \tilde{x}_2 + x_2 \tilde{x}_1 + x_2 \tilde{x}_3 + \alpha^2 x_3 \tilde{x}_1 + x_3 \tilde{x}_2 + x_3 \tilde{x}_2 \\ + \alpha^2 x_3 \tilde{x}_3 + \alpha^2 \tilde{x}_1 \tilde{x}_2 + \tilde{x}_1 \tilde{x}_3 + \tilde{x}_2 \tilde{x}_3 + \alpha \tilde{x}_3^2.$$

油醋签名体制

取 L 为如下线性变换

$$L = \begin{pmatrix} 1 & \alpha^2 & \alpha & \alpha & 0 & \alpha^2 \\ \alpha^2 & \alpha^2 & 1 & 1 & 1 & \alpha \\ 1 & 0 & 1 & \alpha^2 & 1 & \alpha^2 \\ \alpha & \alpha & 1 & \alpha & 0 & 1 \\ \alpha & 1 & \alpha & \alpha^2 & 0 & \alpha^2 \\ 1 & 1 & 1 & \alpha & \alpha & 0 \end{pmatrix},$$

则经过复合后的公钥多项式为

$$\begin{aligned} \bar{F}_1 = & z_1^2 + \alpha^2 z_1 z_2 + \alpha z_1 z_3 + z_1 z_6 + \alpha^2 z_2^2 + z_2 z_3 + \alpha z_2 z_4 + z_2 z_5 \\ & + \alpha^2 z_2 z_6 + \alpha^2 z_3 z_5 + z_3 z_6, \end{aligned}$$

$$\begin{aligned} \bar{F}_2 = & z_1^2 + z_1 z_2 + \alpha^2 z_1 z_3 + z_1 z_4 + \alpha z_1 z_6 + z_2^2 + \alpha^2 z_2 z_4 + z_2 z_5 \\ & + \alpha z_2 z_6 + z_3^2 + \alpha^2 z_3 z_4 + z_3 z_6 + \alpha z_4^2 + z_5^2 + z_6^2, \end{aligned}$$

$$\begin{aligned} \bar{F}_3 = & \alpha z_1^2 + \alpha z_1 z_2 + \alpha z_1 z_4 + \alpha^2 z_1 z_5 + z_1 z_6 + z_2^2 + \alpha^2 z_2 z_6 \\ & + \alpha^2 z_3 z_4 + \alpha^2 z_3 z_6 + z_4^2 + z_4 z_6 + \alpha z_5^2 + \alpha z_5 z_6 + \alpha z_6^2. \end{aligned}$$

- 经过复合后油变量与醋变量已经完全混合

油醋签名体制

若希望对文件 $M = (m_1, m_2, m_3) = (\alpha, 1, \alpha^2)$ 进行签名:
首先随机选取醋变量的值, 例如选取 $(\tilde{x}_1, \tilde{x}_2, \tilde{x}_3) = (\alpha^2, \alpha^2, 1)$, 然后带入油醋多项式得到关于油变量的线性函数如下

$$F_1(x_1, x_2, x_3, \alpha^2, \alpha^2, 1) = \alpha x_1 + \alpha^2 x_2 + \alpha^2 x_3 + \alpha,$$

$$F_2(x_1, x_2, x_3, \alpha^2, \alpha^2, 1) = \alpha^2 x_1 + \alpha^2 x_2 + x_3 + \alpha^2,$$

$$F_3(x_1, x_2, x_3, \alpha^2, \alpha^2, 1) = \alpha x_2 + \alpha x_3 + \alpha^2.$$

令 $F_i(x_1, x_2, x_3, \alpha^2, \alpha^2, 1) = m_i$ ($i = 1, 2, 3$), 求解该方程组可得 $(x_1, x_2, x_3) = (0, 1, 1)$. 因此, 文件 $(\alpha, 1, \alpha^2)$ 的签名为

$$L^{-1}(0, 1, 1, \alpha^2, \alpha^2, 1) = (\alpha^2, 1, \alpha, \alpha^2, 0, \alpha^2).$$

代数攻击

密码分析与代数攻击

- **密码分析学**：主要研究如何利用各种数学技巧对密码体制进行攻击，以**检验密码体制的安全性**。
- **代数攻击**：利用密码体制的**代数结构**进行密码分析的方法。
⇒ 多项式代数在密码分析中的应用

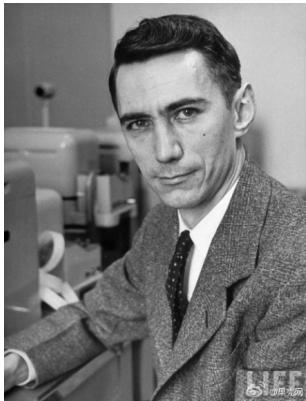
它通常包含如下三个步骤：

- (1) 将密码系统转化为多项式方程组；
- (2) 简化多项式方程组；
- (3) 求解多项式方程组。

由于大部分密码体系均建立在二元域 \mathbb{F}_2 之上，因此代数攻击通常关心密码体制对应的多项式方程组在 \mathbb{F}_2^n 中的解。为此，我们需要向方程组中添加域方程 $x_i^2 - x_i = 0$ ($i = 1, \dots, n$)。

代数攻击

Breaking a cipher should require “as much work as solving a system of simultaneous equations in a large number of unknowns of a complex type” — C. Shannon, 1949



第六章

应用：微分系统的定性分析

奇点及其个数

考虑如下形式的 n 维自治微分系统:

$$\begin{cases} \frac{dx_1}{dt} = \frac{P_1(u_1, \dots, u_m, x_1, \dots, x_n)}{Q_1(u_1, \dots, u_m, x_1, \dots, x_n)}, \\ \dots\dots\dots \\ \frac{dx_n}{dt} = \frac{P_n(u_1, \dots, u_m, x_1, \dots, x_n)}{Q_n(u_1, \dots, u_m, x_1, \dots, x_n)}, \\ \Omega(u_1, \dots, u_m, x_1, \dots, x_n), \end{cases}$$

- $P_1, \dots, P_n, Q_1 \neq 0, \dots, Q_n \neq 0$ 是以 $u_1, \dots, u_m, x_1, \dots, x_n$ 为变元的整系数多项式
- Ω 是关于 $u_1, \dots, u_m, x_1, \dots, x_n$ 的整系数多项式等式和不等式构成的集合,
- u_1, \dots, u_m 为不依赖于求导变元 t 的实参数.
- 每个 x_i 都是 t 的函数: 有时将 dx_i/dt 简写为 \dot{x}_i .

奇点及其个数

命 $\mathbf{u} = (u_1, \dots, u_m)$, $\mathbf{x} = (x_1, \dots, x_n)$, 而

$$\Psi := \Omega \cup \{P_1(\mathbf{u}, \mathbf{x}) = 0, \dots, P_n(\mathbf{u}, \mathbf{x}) = 0\} \\ \cup \{Q_1(\mathbf{u}, \mathbf{x}) \neq 0, \dots, Q_n(\mathbf{u}, \mathbf{x}) \neq 0\}.$$

Ψ 是一个以 \mathbf{u} 为参数、 \mathbf{x} 为变元的半代数系统.

定义: 奇点

对参数 \mathbf{u} 的任给实值 $\bar{\mathbf{u}}$, 称 n 维实空间 \mathbb{R}^n 中的点 $\bar{\mathbf{x}}$ 为自治微分系统的奇点 (singular point) 或平衡点 (equilibrium), 如果 $\mathbf{x} = \bar{\mathbf{x}}$ 是 $\Psi|_{\mathbf{u}=\bar{\mathbf{u}}}$ 中所有方程和不等式的一个公共实解, 即 $\bar{\mathbf{x}} \in \mathbb{R}^n$ 满足 $\Omega|_{\mathbf{u}=\bar{\mathbf{u}}}$ 中的所有等式和不等式, 且

$$P_1(\bar{\mathbf{u}}, \bar{\mathbf{x}}) = \dots = P_n(\bar{\mathbf{u}}, \bar{\mathbf{x}}) = 0, \quad Q_1(\bar{\mathbf{u}}, \bar{\mathbf{x}}) \cdots Q_n(\bar{\mathbf{u}}, \bar{\mathbf{x}}) \neq 0.$$

奇点及其个数

于是求微分系统的奇点及其个数问题可以归结为下列代数问题

问题 1 假定参数 u 不出现. 判定半代数系统 Ψ 关于变元 x 的实解个数, 并用有理区间隔离 Ψ 的所有孤立实解.

问题 2 对任意整数 $k \geq 0$, 确定使半代数系统 Ψ 关于变元 x 有且仅有 k 个互异实解的参数 u 所满足的条件.

- 上述两个问题可以用实解隔离和实解分类算法完全解决.

奇点及其个数

考虑平面微分系统

$$\dot{x} = \frac{P_1}{30 + v^4 y^4}, \quad \dot{y} = \frac{P_2}{1 + x^4}, \quad x \geq 0, \quad y \geq 0, \quad v \geq 0, \quad (1)$$

其中

$$P_1 = 30 - 30x + v^4(1 - 201x)y^4,$$

$$P_2 = 1 + x^4 - (1 + 11x^4)y,$$

而 v 为实参数.

- 上述系统是一个著名的生物网络模型 $\implies v$ 满足什么条件时该系统有 1 个、2 个或更多的奇点.

对于上述系统, $\Omega = \{x \geq 0, y \geq 0, v \geq 0\}$, 而 $Q_1 = 30 + v^4 y^4$ 与 $Q_2 = 1 + x^4$ 对任意实的 v 和 x 都恒正, 因而不会为 0. 所以上述系统的奇点就是系统 $\Psi = \{P_1 = 0, P_2 = 0, x \geq 0, y \geq 0, v \geq 0\}$ 关于 x, y 的实解.

奇点及其个数

由 $P_2 = 0$ 解出 y , 再将所得的解代入 $P_1 \implies$ 以 v 为参数、关于 x 次数为 17 的不可约多项式

$$H = (439230 + 201 v^4) x^{17} - (439230 + v^4) x^{16} + (159720 + 804 v^4) x^{13} \\ - (159720 + 4 v^4) x^{12} + (21780 + 1206 v^4) x^9 - (21780 + 6 v^4) x^8 \\ + (1320 + 804 v^4) x^5 - (1320 + 4 v^4) x^4 + (30 + 201 v^4) x - 30 - v^4.$$

- 给出关于 x 有 $0, 1, 2, \dots$ 个实根时参数 v 所要满足的条件.

使用软件包 DISCOVERER, 我们可以求得 H 关于 x 的判别式 R . 用 $0 = v_0 < v_1 < v_2$ 表示 R 的 3 个非负实根 (这里 $v_1 \approx 0.8315735076$, $v_2 \approx 1.796868764$).

- 当 $0 < v < v_1$ 或 $v_2 < v < +\infty$ 时, 系统仅有一个奇点;
- 当 $v_1 < v < v_2$ 时, 系统有三个奇点;
- 当 $v = 0$ 时, 系统有唯一奇点;
- 当 $v = v_1$ 或 $v = v_2$ 时, 系统有两个奇点.

稳定性分析

定义：奇点的稳定性

对给定参数值 \bar{u} , 称系统的孤立奇点 \bar{x} 为**稳定的 (stable)**, 如果对每个 $\epsilon > 0$ 和任意 $t_0 > 0$ 都存在 $\delta(\epsilon) > 0$, 使得只要 $\|\mathbf{x}(t_0) - \bar{x}\| < \delta(\epsilon)$ 就有 $\|\mathbf{x}(t) - \bar{x}\| < \epsilon$ 对所有 $t \geq t_0$ 成立.

- \bar{x} 是稳定的, 如果系统开始时与 \bar{x} “充分近” 的所有解都保持与 \bar{x} 很 “近”.
- 如果这些开始与 \bar{x} 充分近的解不仅保持与 \bar{x} 很近, 而且在 t 趋于无穷时都最终**逼近** \bar{x} , 那么称 \bar{x} 为**渐近 (asymptotically)** 稳定的.

稳定性分析

Liapunov (李雅普诺夫) 第一方法

考虑 $n \times n$ **Jacobi** 矩阵

$$\mathbf{J}(\mathbf{u}, \mathbf{x}) = \begin{pmatrix} \frac{\partial P_1}{\partial Q_1} & \cdots & \frac{\partial P_1}{\partial Q_n} \\ \frac{\partial P_1}{\partial x_1} & \cdots & \frac{\partial P_1}{\partial x_n} \\ \vdots & \ddots & \vdots \\ \frac{\partial P_n}{\partial Q_1} & \cdots & \frac{\partial P_n}{\partial Q_n} \\ \frac{\partial P_n}{\partial x_1} & \cdots & \frac{\partial P_n}{\partial x_n} \end{pmatrix}.$$

对给定 $\bar{\mathbf{u}}$ 的每个孤立奇点 $\bar{\mathbf{x}}$, 系统可写作如下矩阵形式:

$$\dot{\mathbf{x}}^{\text{T}} = \mathbf{J}(\bar{\mathbf{u}}, \bar{\mathbf{x}})(\mathbf{x} - \bar{\mathbf{x}})^{\text{T}} + \mathbf{G},$$

式中的上标 T 表示矩阵的转置, 而**高阶项**

$$\mathbf{G} = \left(\frac{P_1(\bar{\mathbf{u}}, \mathbf{x})}{Q_1(\bar{\mathbf{u}}, \mathbf{x})}, \dots, \frac{P_n(\bar{\mathbf{u}}, \mathbf{x})}{Q_n(\bar{\mathbf{u}}, \mathbf{x})} \right)^{\text{T}} - \mathbf{J}(\bar{\mathbf{u}}, \bar{\mathbf{x}})(\mathbf{x} - \bar{\mathbf{x}})^{\text{T}}$$

在 $\mathbf{x} \rightarrow \bar{\mathbf{x}}$ 时是 $\|\mathbf{x} - \bar{\mathbf{x}}\|$ 的**高阶无穷小**.

稳定性分析

$$\mathbf{J}(\mathbf{u}, \mathbf{x}) = \begin{pmatrix} \frac{\partial P_1}{\partial Q_1} & \cdots & \frac{\partial P_1}{\partial Q_n} \\ \frac{\partial P_1}{\partial x_1} & \cdots & \frac{\partial P_1}{\partial x_n} \\ \vdots & \ddots & \vdots \\ \frac{\partial P_n}{\partial Q_n} & \cdots & \frac{\partial P_n}{\partial Q_n} \\ \frac{\partial P_n}{\partial x_1} & \cdots & \frac{\partial P_n}{\partial x_n} \end{pmatrix}.$$

定理

- (a) 如果矩阵 $\mathbf{J}(\bar{\mathbf{u}}, \bar{\mathbf{x}})$ 的所有特征值都有负实部, 那么 $\bar{\mathbf{x}}$ 是渐近稳定的.
- (b) 如果矩阵 $\mathbf{J}(\bar{\mathbf{u}}, \bar{\mathbf{x}})$ 至少有一个实部为正的 eigenvalue, 那么 $\bar{\mathbf{x}}$ 是不稳定的.

稳定性分析：平面微分系统 ($n = 2$)

设 $n = 2$, 系统在 (\bar{u}, \bar{x}) 处的 Jacobi 矩阵为

$$\mathbf{J}_2(\bar{u}, \bar{x}) = \begin{pmatrix} a & b \\ c & d \end{pmatrix},$$

而 λ_1, λ_2 为 $\mathbf{J}_2(\bar{u}, \bar{x})$ 的两个特征值. 也就是说, λ_1, λ_2 是特征多项式

$$\begin{vmatrix} a - \lambda & b \\ c & d - \lambda \end{vmatrix} = \lambda^2 + p\lambda + q$$

的两个根, 上式中 $p = -(a + d)$, $q = ad - bc$. 令 $\Delta = p^2 - 4q$. 我们有下列判别准则:

稳定性分析：平面微分系统 ($n = 2$)

- ① 当 $q > 0, p > 0, \Delta \geq 0$ 时 (这时 λ_1, λ_2 为实的, 且 $\lambda_1 < 0, \lambda_2 < 0$), \bar{x} 为**稳定结点** (stable node);
- ② 当 $q > 0, p < 0, \Delta \geq 0$ 时 (这时 λ_1, λ_2 为实的, 且 $\lambda_1 > 0, \lambda_2 > 0$), \bar{x} 为**不稳定结点** (unstable node);
- ③ 当 $q < 0$ 时 (这时 λ_1, λ_2 为实的, 且 $\lambda_1 \lambda_2 < 0$), \bar{x} 为 (不稳定) **鞍点** (saddle);
- ④ 当 $q > 0, p > 0, \Delta < 0$ 时 (这时 λ_1, λ_2 是复共轭的, 且 $\text{Re } \lambda_1 = \text{Re } \lambda_2 < 0$, 这里 **Re** 表示**实部**), \bar{x} 为**稳定焦点** (stable focus);
- ⑤ 当 $q > 0, p < 0, \Delta < 0$ 时 (这时 λ_1, λ_2 是复共轭的, 且 $\text{Re } \lambda_1 = \text{Re } \lambda_2 > 0$), \bar{x} 为**不稳定焦点** (unstable focus);
- ⑥ 当 $q > 0, p = 0$ 时 (这时 λ_1, λ_2 是复共轭的, 且 $\text{Re } \lambda_1 = \text{Re } \lambda_2 = 0$), \bar{x} 为 $\dot{x}^T = J_2(\bar{u}, \bar{x})(x - \bar{x})^T$ 的**中心** (center) \implies 系统的奇点 \bar{x} 的稳定性依赖于 (高阶项) G ;
- ⑦ 当 $q = 0$ 时, Jacobi 矩阵 $J_2(\bar{u}, \bar{x})$ 是奇异的, 因此 \bar{x} 是系统的高次奇点, 其稳定性依赖于 G .

稳定性分析：平面微分系统 ($n = 2$)

$$\dot{x} = \frac{P_1}{30 + v^4 y^4}, \quad \dot{y} = \frac{P_2}{1 + x^4}, \quad x \geq 0, \quad y \geq 0, \quad v \geq 0,$$

其中

$$P_1 = 30 - 30x + v^4(1 - 201x)y^4,$$

$$P_2 = 1 + x^4 - (1 + 11x^4)y,$$

而 v 为实参数.

考虑该系统的 Jacobi 矩阵, 其元素为

$$F_1 = \frac{P_1}{30 + v^4 y^4}, \quad F_2 = \frac{P_2}{1 + x^4}$$

关于 x 和 y 的偏导数, 即

$$a = \frac{\partial F_1}{\partial x} = -\frac{3(10 + 67v^4 y^4)}{30 + v^4 y^4} < 0, \quad b = \frac{\partial F_1}{\partial y} = -\frac{24000 v^4 x y^3}{(30 + v^4 y^4)^2},$$
$$c = \frac{\partial F_2}{\partial x} = -\frac{40 x^3 y}{(1 + x^4)^2}, \quad d = \frac{\partial F_2}{\partial y} = -\frac{1 + 11x^4}{1 + x^4} < 0.$$

稳定性分析：平面微分系统 ($n = 2$)

令

$$p = -(a + d) = \frac{2\bar{p}}{(30 + v^4 y^4)(1 + x^4)},$$

$$q = ad - bc = \frac{3\bar{q}}{(30 + v^4 y^4)^2 (1 + x^4)^2},$$

$$\Delta = p^2 - 4q = \frac{100\bar{\Delta}}{(30 + v^4 y^4)^2 (1 + x^4)^2},$$

其中

$$\bar{p} = 30 + 180x^4 + 101v^4y^4 + 106v^4x^4y^4,$$

$$\bar{q} = 67y^8(1+x^4)(1+11x^4)v^8 + 20y^4(101 - 14788x^4 + 1111x^8)v^4 \\ + 300(1+x^4)(1+11x^4),$$

$$\bar{\Delta} = x^8(30 - 19v^4y^4)^2 + 40v^4x^4(930 + 19v^4y^4)y^4 + 400v^8y^8.$$

容易看出, $a < 0$, $d < 0$, $p > 0$, $\Delta \geq 0$ 总是成立.

稳定性分析：平面微分系统 ($n = 2$)

使用 DISCOVERER, 我们可以得到下列结果:

- ① 当 $0 < v < v_1$ 或 $v_2 < v < +\infty$ 时, $q > 0$ 和 $\Delta > 0$ 在仅有的奇点处成立, 所以该奇点为**稳定结点**;
- ② 当 $v_1 < v < v_2$ 时, 在三个奇点之一处有 $q < 0$, 所以该奇点为 (不稳定) **鞍点**, 而在另外两个奇点处有 $q > 0, \Delta > 0$, 因此它们是**稳定结点**;
- ③ 当 $v = 0$ 时, $p > 0, q > 0$ 和 $\Delta > 0$ 在唯一的奇点处均成立, 所以该奇点是**稳定结点**;
- ④ 当 $v = v_1$ 或 $v = v_2$ 时, $q > 0$ 和 $\Delta > 0$ 在两个奇点之一处成立, 所以该奇点是**稳定结点**, 而 $q = 0, a < 0, d < 0$ 和 $bc > 0$ 在另一个奇点处成立: **需要进一步分析**

稳定性分析：高维微分系统 ($n > 2$)

定义：稳定多项式

一个实系数一元多项式 A 称为是稳定的, 如果 A 的所有根的实部都是负的. 特别设

$$A = a_0 \lambda^n + a_1 \lambda^{n-1} + \cdots + a_n$$

为 $\bar{J} = J(\bar{u}, \bar{x})$ 的特征多项式. \bar{J} 的特征值就是多项式 A 关于 λ 的根, 因此若 A 是稳定的, 则 \bar{x} 是稳定的.

设 A 如上所示, 并假定 $a_0 > 0$. 定义 $n \times n$ 方阵

$$H = \begin{pmatrix} a_1 & a_3 & a_5 & \cdots & a_{2n-1} \\ a_0 & a_2 & a_4 & \cdots & a_{2n-2} \\ 0 & a_1 & a_3 & \cdots & a_{2n-3} \\ 0 & a_0 & a_2 & \cdots & a_{2n-4} \\ 0 & 0 & a_1 & \cdots & a_{2n-5} \\ \vdots & \vdots & \vdots & \ddots & \vdots \end{pmatrix},$$

称 H 为附属于 A 的Hurwitz 矩阵. 设 $\Delta_1, \Delta_2, \dots, \Delta_n$ 为 H 的前主子式, 称为 A 的Hurwitz 行列式.

稳定性分析：高维微分系统 ($n > 2$)

定理：Routh–Hurwitz 准则

多项式 A 是稳定的当且仅当

$$\Delta_1 > 0, \Delta_2 > 0, \dots, \Delta_n > 0.$$

定理：Liénard–Chipart 准则

多项式 A 是稳定的当且仅当下列条件之一成立：

- (a) $a_n > 0, a_{n-2} > 0, \dots, a_{n-2m} > 0, \Delta_1 > 0, \Delta_3 > 0, \dots, \Delta_{2m'-1} > 0;$
- (b) $a_n > 0, a_{n-2} > 0, \dots, a_{n-2m} > 0, \Delta_2 > 0, \Delta_4 > 0, \dots, \Delta_{2m} > 0;$
- (c) $a_n > 0, a_{n-1} > 0, a_{n-3} > 0, \dots, a_{n-2m'+1} > 0, \Delta_1 > 0, \Delta_3 > 0, \dots, \Delta_{2m'-1} > 0;$
- (d) $a_n > 0, a_{n-1} > 0, a_{n-3} > 0, \dots, a_{n-2m'+1} > 0, \Delta_2 > 0, \Delta_4 > 0, \dots, \Delta_{2m} > 0,$

这里 m 和 m' 分别是 $n/2$ 和 $(n+1)/2$ 的整数部分，而 $\Delta_1, \Delta_2, \dots, \Delta_n$ 为 A 的 Hurwitz 行列式。

稳定性分析：高维微分系统 ($n > 2$)

现设 H_1, \dots, H_r 为 \mathbf{u} 和 \mathbf{x} 的有理系数多项式. 特别地, 每个 H_i 可以是上述的 a_i 或 Δ_j .

稳定性分析问题 \implies 给定参数值多项式 H_i 在各奇点处的符号
 \implies 建立使得 H_i 在指定个数的奇点处为 0、为正或者为负的参数 \mathbf{u} 所满足的条件.

化归的代数问题

问题 3 假定参数 \mathbf{u} 不出现. 确定多项式 H_1, \dots, H_r 在半代数系统 Ψ 的每个孤立实解处的符号.

问题 4 确定使得 H_1, \dots, H_r 在系统定义在半代数系统 Ψ 的(指定个数的) 孤立实解处为零、为正或者为负的参数 \mathbf{u} 所满足的条件.

稳定性分析：高维微分系统 ($n > 2$)

代数分析方法

步骤 1 [构造半代数系统和 Hurwitz 行列式]. 利用需分析的自治微分系统构造半代数系统 Ψ , 并设 Ψ 中等式对应的多项式构成的集合为 \mathcal{P} , 而 Ψ 中不等式对应的多项式为 G_1, \dots, G_t . 计算系统 Jacobi 矩阵 $J(u, x)$ 的特征多项式及其 Hurwitz 行列式, 并设按照 Routh–Hurwitz 准则或 Liénard–Chipart 准则需要判定其符号为正的多项式为 H_1, \dots, H_r .

步骤 2 [计算三角列]. 用 2.2 节中介绍的三角分解或 2.3 节中介绍的 Gröbner 基方法将多项式组 \mathcal{P} 三角化, 得到一个或多个 (正则) 三角列 \mathcal{T}_k . 如果参数 u 出现, 则转至步骤 4 (参数系统).

步骤 3 [求解问题 1 和问题 3 (无参数系统)]. 在不出现参数 u 时, 用 4.5.1 节中的算法隔离每个 \mathcal{T}_k 的、满足 G_1, \dots, G_t 和 H_1, \dots, H_r 的不等式的实零点, 由此得到用有理区间隔离的 Ψ 的所有满足 H_j 的不等式的实解. 问题 1 和问题 3 获得解决.

稳定性分析：高维微分系统 ($n > 2$)

代数分析方法

步骤 4 [实解分类]. 对每个三角列 \mathcal{T}_k , 利用不等式多项式 G_1, \dots, G_t 和 H_1, \dots, H_r 计算一个以 \mathbf{u} 为变元的代数簇 V , 该代数簇将实参数空间 \mathbb{R}^m 分解为有限多个胞腔, 使得在每个胞腔中 k 的实零点的个数和 G_1, \dots, G_t 及 H_1, \dots, H_r 在这些实零点处的符号都保持不变.

- 使用 4.4 节中介绍的 (部分) 柱形代数分解和 4.5.2 节中介绍的实解分类方法

然后从每个胞腔中选取一个有理样本点, 并在该样本点处用有理区间隔离 k 的实零点, 计算 \mathcal{T}_k 的实零点的个数以及 G_1, \dots, G_t 和 H_1, \dots, H_r 在实零点处的符号.

步骤 5 [求解问题 2 和问题 4 (含参系统)]. 确定 V 的定义多项式 (的因子) 在每个样本点处的符号. 根据这些多项式 (的因子) 在 Ψ 具有指定个数的实解的胞腔中样本点处的符号, 建立参数 \mathbf{u} 所要满足的条件. 问题 2 和问题 4 获得完全解决.